



ENSIIE

BLACK-SCHOLES
RAPPORT

Résolution numérique de l'équation différentielle de Black-Scholes

Élèves :

Amaury MANZIONE
Joris NOZI

Enseignant :

Vincent TORRI

2 janvier 2023

Table des matières

1	EDP complète	2
2	EDP réduite	3
2.1	Changements de variables	3
2.2	Schéma aux différences finies implicite	4
3	Architecture des classes	4
4	Quelques commandes	6

1 EDP complète

On cherche à approximer numériquement l'équation aux dérivées partielles complète de Black-Scholes complète et réduite.

Nous travaillons ici avec l'EDP complète :

$$\frac{\partial C}{\partial t} + rS \frac{\partial C}{\partial S} + \frac{1}{2} \sigma^2 S^2 \frac{\partial^2 C}{\partial S^2} = rC \quad (1)$$

Nous avons approximé (1) par la méthode des différences finies en gérant le terme en $\frac{\partial}{\partial t}$ par une approximation décentrée à gauche (car on a une condition terminale par rapport à t), le terme $\frac{\partial}{\partial S}$ par une approximation centrée et le terme $\frac{\partial^2}{\partial S^2}$ par crank-nichelson :

$$\begin{cases} \frac{\partial C}{\partial t} = \frac{C(t_m, s_j) - C(t_{m-1}, s_j)}{\Delta t} \\ \frac{\partial C}{\partial S} = \frac{C(t_m, s_{j+1}) - C(t_m, s_{j-1})}{2\Delta S} \\ \frac{\partial^2 C}{\partial S^2} = \frac{C(t_m, s_{j+1}) - 2C(t_m, s_j) + C(t_m, s_{j-1}) + C(t_{m-1}, s_{j+1}) - 2C(t_{m-1}, s_j) + C(t_{m-1}, s_{j-1})}{4\Delta S^2} \end{cases}$$

En remplaçant ces équations dans (1) on trouve :

$$\gamma_j C(t_m, s_j) + (\beta_j + \alpha_j) C(t_m, s_{j+1}) + (-\beta_j + \alpha_j) C(t_m, s_{j-1}) = (1 + 2\alpha_j) C(t_{m-1}, s_j) - \alpha_j (C(t_m, s_{j+1}) - \alpha_j C(t_m, s_{j-1}))$$

avec

$$\begin{cases} \alpha_j = \frac{\sigma^2 s_j^2 \Delta t}{8\Delta S^2} \\ \beta_j = \frac{r s_j \Delta t}{2\Delta S} \\ \gamma_j = 1 - r\Delta t - 2\alpha_j \end{cases}$$

En utilisant les conditions de bord quand $s = 0$ et $s = L$ cela se traduit matriciellement par :

$$\underbrace{\begin{pmatrix} \gamma_1 & \beta_1 + \alpha_1 & & & \\ -\beta_2 + \alpha_2 & \gamma_2 & \beta_2 + \alpha_2 & & \\ & \ddots & \ddots & \ddots & \\ & & -\beta_{L-1} + \alpha_{L-1} & \gamma_{L-1} & \end{pmatrix}}_{A_1 \in \mathcal{M}_{L-1}(\mathbb{R})} \underbrace{\begin{pmatrix} C(t_m, s_1) \\ \vdots \\ C(t_m, s_{L-1}) \end{pmatrix}}_{b_1 \in \mathbb{R}^{L-1}} + \underbrace{\begin{pmatrix} 0 \\ \vdots \\ (\beta_{L-1} + \alpha_{L-1})C(t_m, s_L) + \beta_{L-1}C(t_{m-1}, s_L) \end{pmatrix}}_{k \in \mathbb{R}^{L-1}} \\ || \\ \underbrace{\begin{pmatrix} 1 + 2\alpha_1 & -\alpha_1 & & & \\ -\alpha_2 & 1 + 2\alpha_2 & \alpha_2 & & \\ & \ddots & \ddots & \ddots & \\ & & -\alpha_{L-1} & 1 + 2\alpha_{L-1} & \end{pmatrix}}_{A_2 \in \mathcal{M}_{L-1}(\mathbb{R})} \underbrace{\begin{pmatrix} C(t_{m-1}, s_1) \\ \vdots \\ C(t_{m-1}, s_{L-1}) \end{pmatrix}}_{b_2 \in \mathbb{R}^{L-1}}$$

pour une option call et :

$$\begin{pmatrix} \gamma_1 & \beta_1 + \alpha_1 & & & \\ -\beta_2 + \alpha_2 & \gamma_2 & \beta_2 + \alpha_2 & & \\ & \ddots & \ddots & \ddots & \\ & & -\beta_{L-1} + \alpha_{L-1} & \gamma_{L-1} & \end{pmatrix} \begin{pmatrix} C(t_m, s_1) \\ \vdots \\ C(t_m, s_{L-1}) \end{pmatrix} + \begin{pmatrix} (-\beta_1 + \alpha_1)C(t_m, s_0) + \alpha_1 C(t_{m-1}, s_0) \\ 0 \\ \vdots \end{pmatrix}$$

||

$$\begin{pmatrix} 1+2\alpha_1 & -\alpha_1 & & \\ -\alpha_2 & 1+2\alpha_2 & \alpha_2 & \\ & \ddots & \ddots & \ddots \\ & & -\alpha_{L-1} & 1+2\alpha_{L-1} \end{pmatrix} \begin{pmatrix} C(t_{m-1}, s_1) \\ \vdots \\ \vdots \\ C(t_{m-1}, s_{L-1}) \end{pmatrix}$$

pour une option put.

Connaissant $C(t_m, s_j) \quad \forall 0 \leq j \leq L$, nous cherchons à calculer $C(t_{m-1}, s_j)$ pour tout j , ce qui revient à résoudre le système :

$$A_2 b_2 = b$$

avec $b = A_1 b_1 + k$.

Nous utilisons la formule de décomposition LU pour une matrice tridiagonale vu en cours de MAN pour résoudre ce système.

2 EDP réduite

2.1 Changements de variables

On s'est d'abord documenté sur les changements de variables à faire pour obtenir cette nouvelle équation aux dérivées partielles. Voici ceux utilisés :

$$\begin{cases} \tilde{t} = \frac{\sigma^2(T-t)}{2} \\ \tilde{s} = \ln\left(\frac{s}{K}\right) \\ \tilde{C} = \frac{1}{K} e^{\frac{1}{2}(k-1)\tilde{s} + \frac{1}{4}(k+1)^2\tilde{t}} C \end{cases} \text{ avec } k = \frac{2r}{\sigma^2}$$

Ces changement de variables amènent à l'EDP suivante :

$$\frac{\partial \tilde{C}}{\partial \tilde{t}} = \frac{\partial^2 \tilde{C}}{\partial \tilde{s}^2} \quad (1')$$

Mais ces changements de variables amènent aussi à reconsidérer les maillages utilisés dans la partie 1 car ils ne sont plus valables. Même s'il n'y a pas de problème pour le maillage de \tilde{t} car c'est un changement de variable affine, on doit changer celui de s car $\ln(0)$ est indéterminé.

On transforme la borne haute de l'intervalle de t avec le changement de variable : $\tilde{t}_{sup} = \ln(\frac{L}{K})$ On a ensuite choisi de prendre comme borne inférieur l'opposé : $\tilde{t}_{inf} = -\ln(\frac{L}{K})$. Ainsi, si de base on avait un maillage de $[0, +\infty[$ avec $[0, L]$, on peut supposer qu'ici on a un maillage de $]-\infty, +\infty[$ avec $[-\ln(\frac{L}{K}), \ln(\frac{L}{K})]$.

Ce choix d'intervalle fût compliqué car ce n'est pas celui le plus intuitif. Nous avons d'abord tester de transformer le maillage de s grâce au changement de variable directement. Mais cela impliquait un maillage non uniforme (à cause du log), rendant le schéma aux différences finies implicite plus compliqué car h n'était plus constant.

2.2 Schéma aux différences finies implicite

Il nous est demandé d'utiliser le schéma aux différences finies implicite qui donne les approximations suivantes à (t_m, s_j)

$$\begin{cases} \frac{\partial \tilde{C}}{\partial t}(\tilde{t}_m, \tilde{s}_j) = \frac{1}{\Delta t} [\tilde{C}(\tilde{t}_{m+1}, \tilde{s}_j) - \tilde{C}(\tilde{t}_m, \tilde{s}_j)] \\ \frac{\partial^2 \tilde{C}}{\partial s^2}(\tilde{t}_m, \tilde{s}_j) = \frac{1}{h^2} [\tilde{C}(\tilde{t}_{m+1}, \tilde{s}_{j+1}) - 2\tilde{C}(\tilde{t}_{m+1}, \tilde{s}_j) + \tilde{C}(\tilde{t}_{m+1}, \tilde{s}_{j-1})] \end{cases}$$

En remplaçant dans (1') à (t_m, s_j) , on trouve :

$$\frac{1}{\Delta t} [\tilde{C}(\tilde{t}_{m+1}, \tilde{s}_j) - \tilde{C}(\tilde{t}_m, \tilde{s}_j)] = \frac{1}{h^2} [\tilde{C}(\tilde{t}_{m+1}, \tilde{s}_{j+1}) - 2\tilde{C}(\tilde{t}_{m+1}, \tilde{s}_j) + \tilde{C}(\tilde{t}_{m+1}, \tilde{s}_{j-1})]$$

Puis :

$$k_1 \tilde{C}(\tilde{t}_{m+1}, \tilde{s}_{j+1}) + k_2 \tilde{C}(\tilde{t}_{m+1}, \tilde{s}_j) + k_3 \tilde{C}(\tilde{t}_{m+1}, \tilde{s}_{j-1}) = k_3 \tilde{C}(\tilde{t}_m, \tilde{s}_j)$$

avec

$$\begin{cases} k_1 = \frac{1}{h^2} \\ k_2 = -(\frac{2}{h^2} + \frac{1}{\Delta t}) \\ k_3 = -\frac{1}{\Delta t} \end{cases}$$

On peut ainsi la traduire en un système matriciel comme suit :

$$A \tilde{C}_{m+1} = k_3 \tilde{C}_m - k_1 \tilde{c}_{lim}$$

avec

$$A = \begin{pmatrix} k_2 & k_1 & & \\ k_1 & k_2 & k_1 & \\ & \ddots & \ddots & \ddots \\ & & k_1 & k_2 \end{pmatrix}$$

\tilde{c}_{lim} correspond aux conditions aux limites de \tilde{C} . En particulier, en $\tilde{s} = 0$ et $\tilde{s} = L$. Ainsi, cette valeur change en fonction du payoff : CALL ou PUT. Prenons le cas du CALL par exemple :

$$\begin{cases} \tilde{C}(\tilde{t}, 0) = C(t, 0) = 0 \\ \tilde{C}(\tilde{t}, \ln(\frac{L}{K})) = \frac{1}{K} e^{\frac{1}{2}(k-1)\tilde{s} + \frac{1}{4}(k+1)^2\tilde{t}} C(t, L) \\ = e^{\frac{1}{2}(k-1)\tilde{s} + \frac{1}{4}(k+1)^2\tilde{t}} e^{-r(t-T)} \end{cases}$$

Dans cet exemple, \tilde{c}_{lim} vaudrait :

$$\tilde{c}_{lim} = \begin{pmatrix} 0 \\ \vdots \\ 0 \\ e^{\frac{1}{2}(k-1)\tilde{s} + \frac{1}{4}(k+1)^2\tilde{t}} e^{-r(t-T)} \end{pmatrix}$$

3 Architecture des classes

Tout d'abord nous avons créé une classe abstraite `edp` qui possède comme attributs toutes les caractéristiques d'une option (K, r, σ, T , etc..) et deux `std : vector<double>` qui représentent les maillages par rapport à t et s . Elle possède une méthode virtuelle pure `sol_edp()` qui renvoie une matrice de terme générale $C(t_m, s_j) \quad \forall 0 \leq j \leq L, 0 \leq$

$m \leq T$. Nous avons ensuite créé deux classes filles qui implémentent `sol_edp`, `reduite` qui résout l'équation réduite avec le schéma vu en 2 et `crank` qui résout l'équation complète avec le schéma vu en 1.

Nous avons également créé deux autres classes :

- `Matrix` qui représente symboliquement une matrice tridiagonale. Comme ces types de matrices ont beaucoup de zéros, nous avons jugé plus pertinent de construire un objet de type `Matrix` avec trois `std::vector` représentant les termes de la diagonale, ceux en dessous et au dessus. En plus des constructeurs par défauts et valués, nous avons créé un constructeur prenant en paramètres 3 `double` et un `int` (la taille de la matrice) quand la matrice diagonale a des termes constants sur ses diagonales (utile pour la classe `reduite`). La classe `Matrix` possède un opérateur externe représentant le produit d'une matrice par un vecteur. Pour les opérations vectorielles comme `add_lambda` et `prod_vect` qui n'ont pas de lien avec la classe `Matrix` nous avons créé un namespace `algebra` qui contient ces deux fonctions et la classe `Matrix`.
- La classe `sdl` gère les affichages graphiques, elle a notamment en attribut la largeur et la hauteur de la fenêtre. Elle a une méthode `draw_function` qui prend en argument un `std::vector<double>` et le dessine sur la fenêtre.

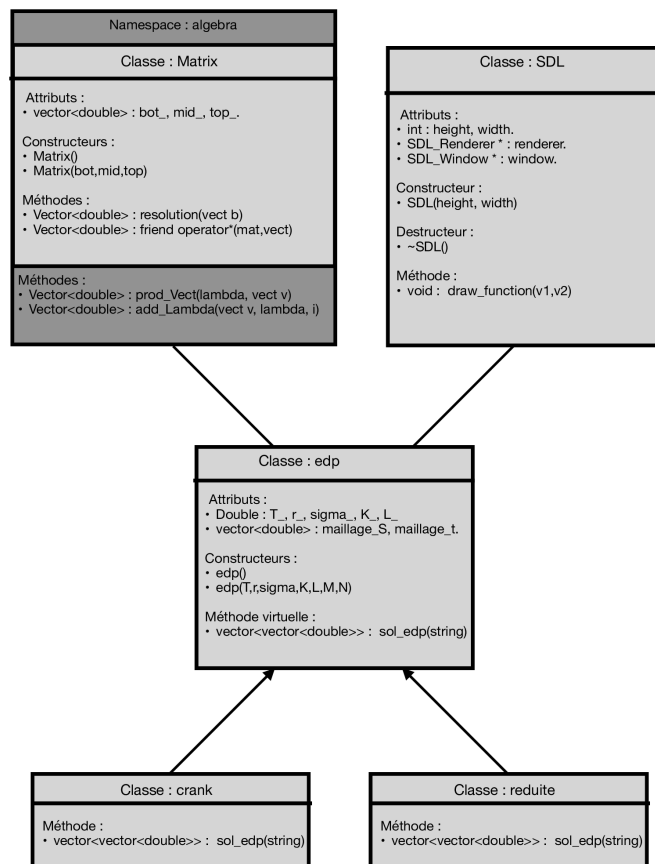


FIGURE 1 – Diagramme UML des classes

4 Quelques commandes

On a trouvé dans les parties précédentes que les systèmes étaient :

$$\begin{cases} AC_{m-1} = BC_m + c_{lim} \\ A\tilde{C}_{m+1} = k_3\tilde{C}_m - k_1\tilde{c}_{lim} \end{cases}$$

Nous avons codé des fonctions pour calculer le terme de droite du système en optimisant au maximum.

- $k_3\tilde{C}_m$
Il s'agit d'un produit entre un vecteur et un réel. La fonction `prod_Vect` de la classe `Matrix` fait le produit terme à terme du vecteur par le réel.
- BC_m
Il s'agit d'un produit entre une matrice et un vecteur colonne. Cela est traité par l'opérateur externe `*` du namespace `algebra`. On profite dans cette fonction du fait que `B` soit tridiagonal pour optimiser le calcul également.
- $k_3\tilde{C}_m - k_1\tilde{c}_{lim}$ ou $BC_m + c_{lim}$
Il s'agit cette fois d'une addition de deux vecteurs. Mais le terme de droite a qu'une seule composante (la première ou la dernière) et tout le reste sont des 0. Donc il n'est pas nécessaire d'ajouter terme à terme chaque composante des vecteurs, mais juste additionner la première ou la dernière composante des deux vecteurs. Cela est fait par `add_Lambda`.

Le reste est la résolution du système $AX=b$ avec `A` tridiagonale comme dans la première partie.